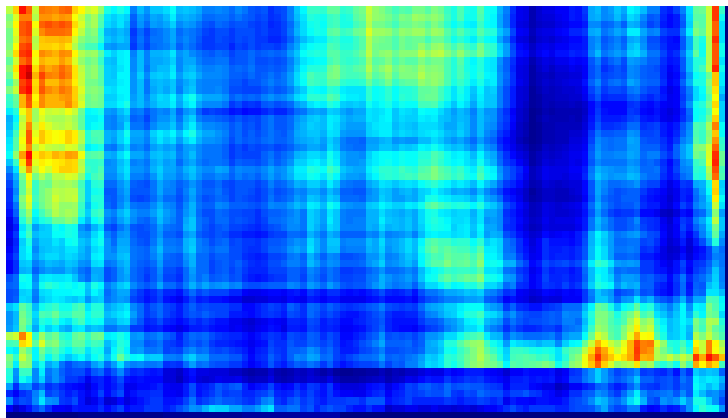
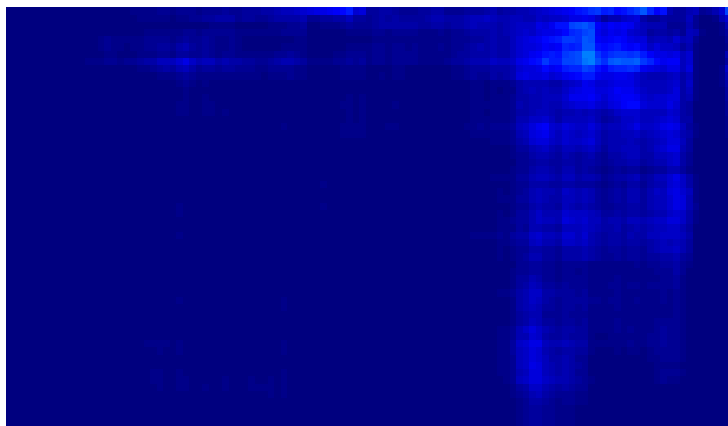


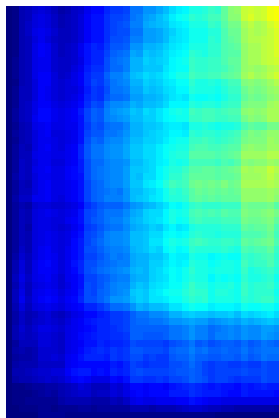
Seney et al., 2021 DLFPC



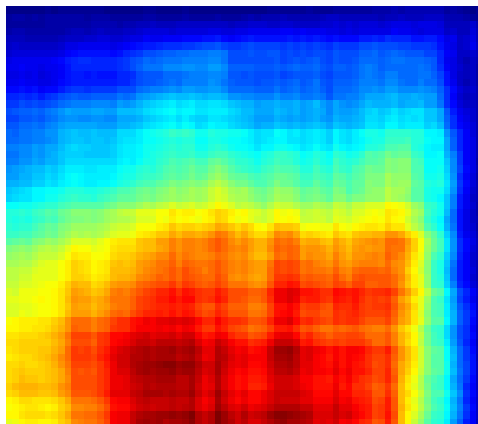
Astrocytes



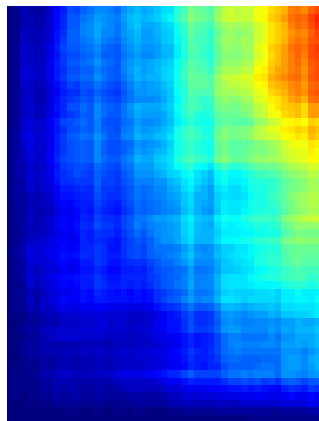
Seney et al., 2021 DLFPC



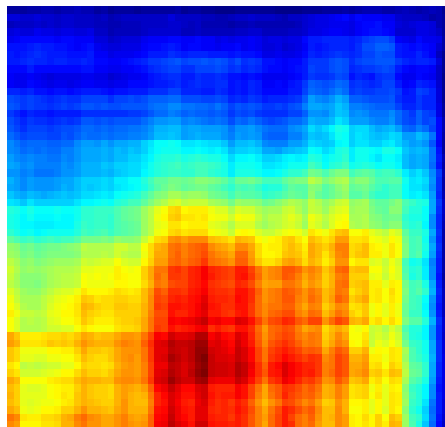
D1-Matrix



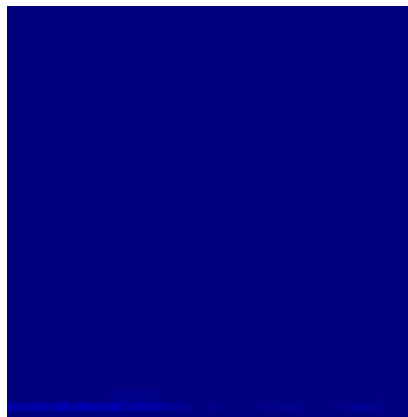
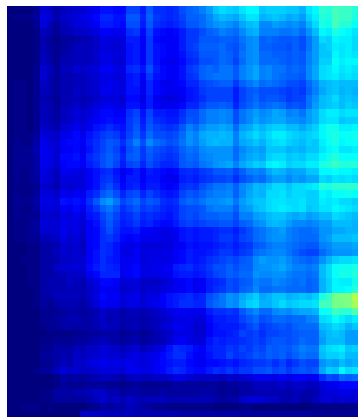
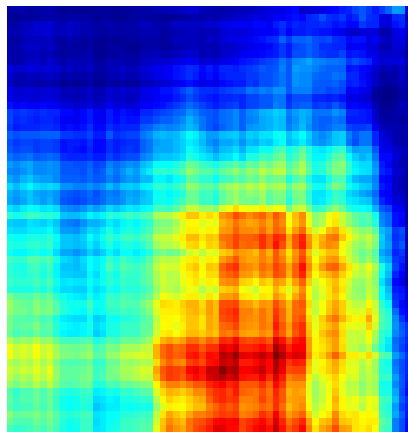
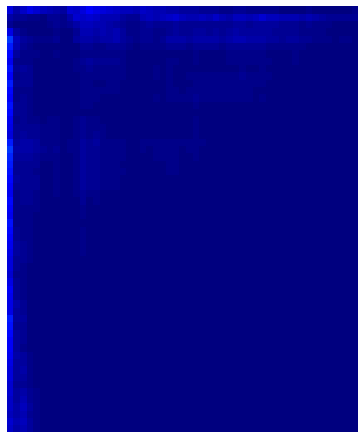
Seney et al., 2021 DLFPC



D1-Striosome



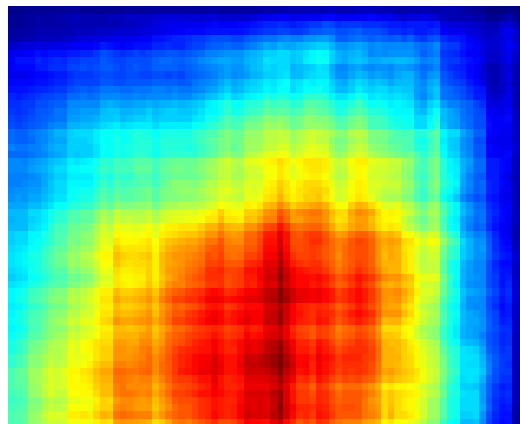
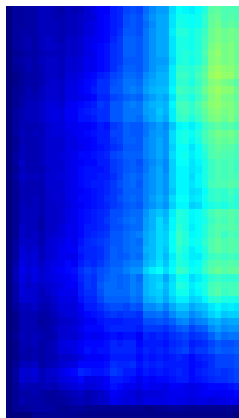
Seney et al., 2021 DLFPC



D1/D2-Hybrid



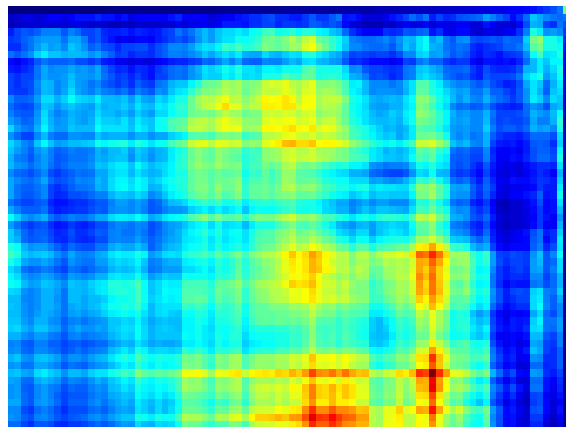
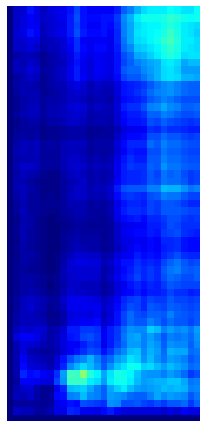
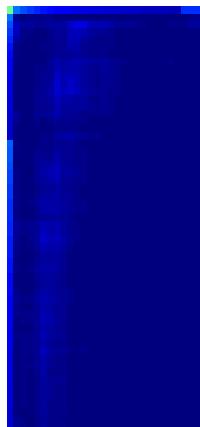
Seney et al., 2021 DLFPC



D2-Matrix

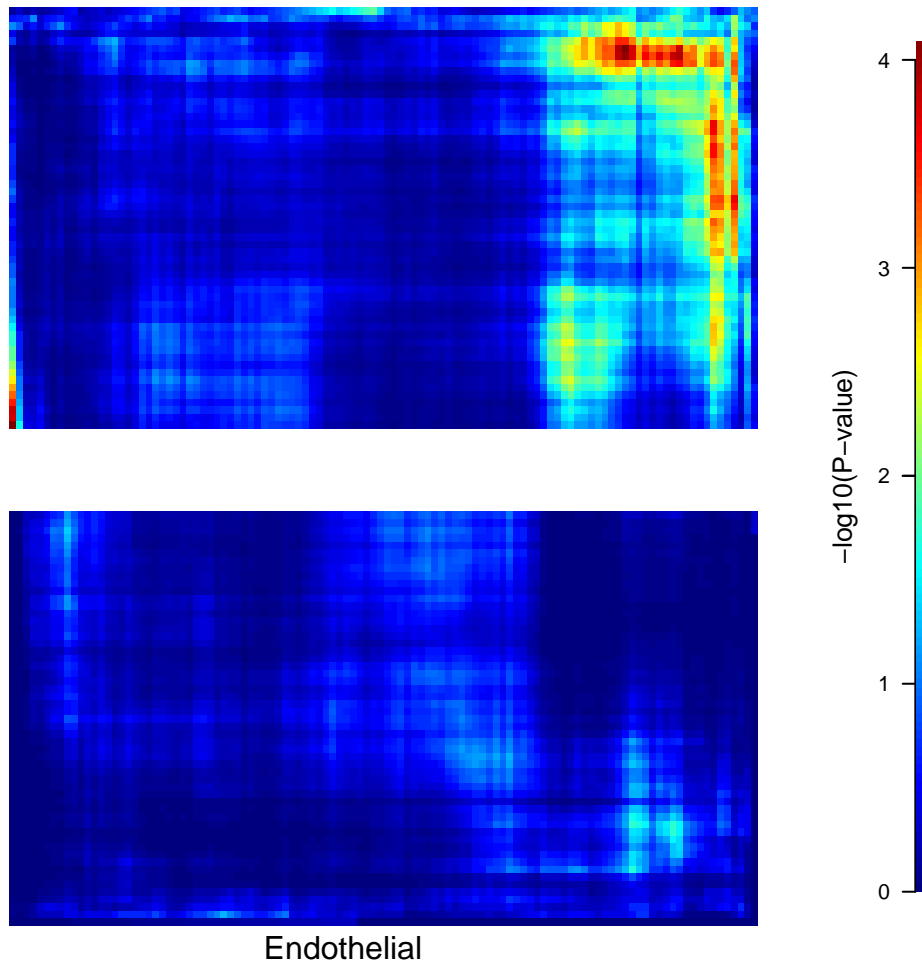


Seney et al., 2021 DLFPC

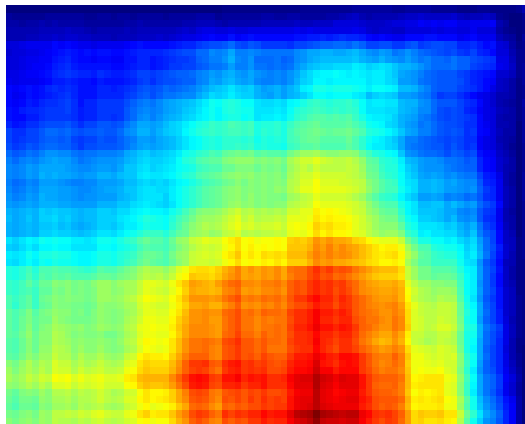
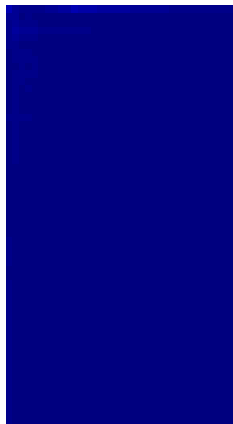
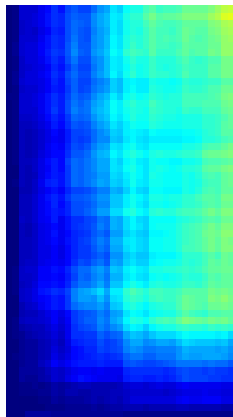


D2-Striosome





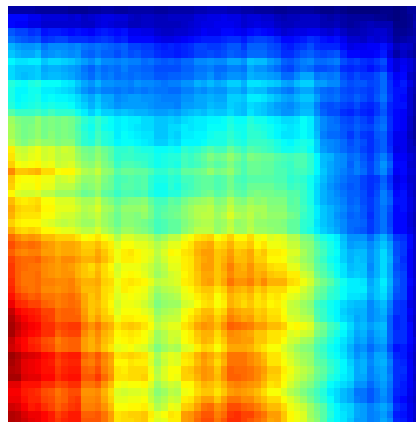
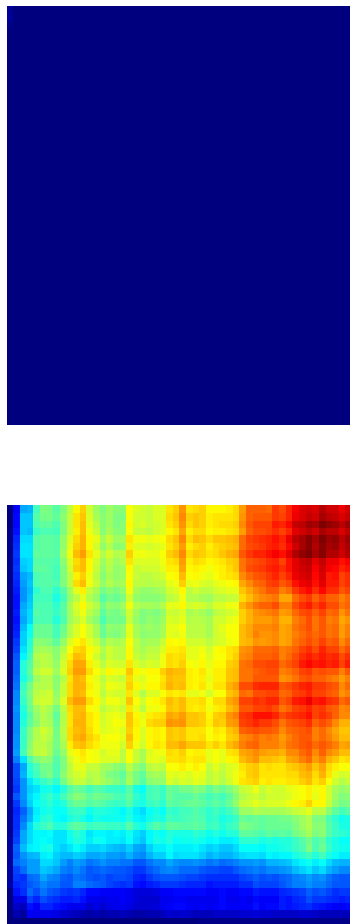
Seney et al., 2021 DLFPC



Interneurons



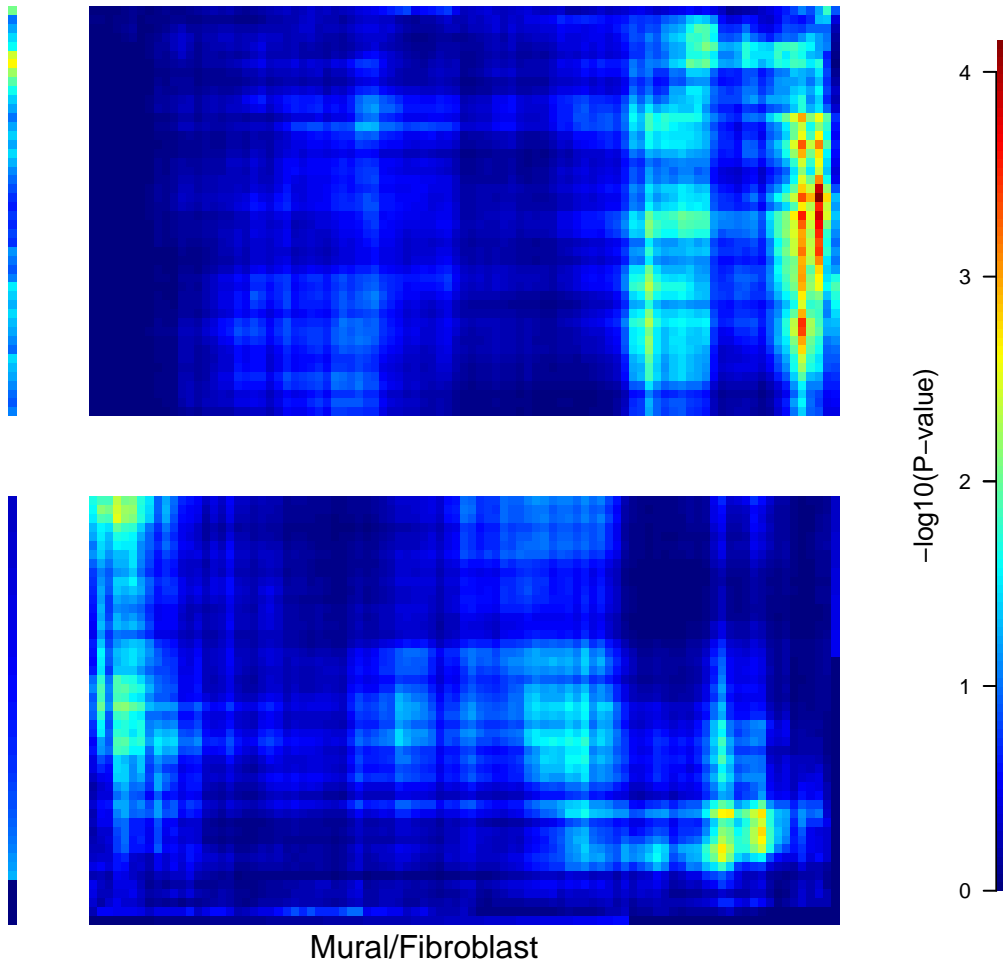
Seney et al., 2021 DLFPC



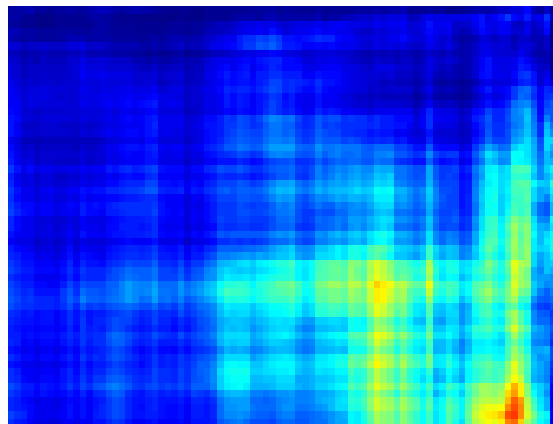
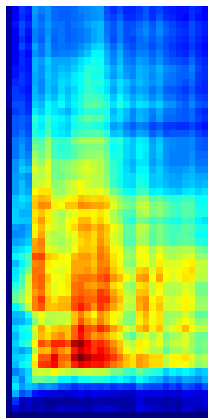
Microglia



Seney et al., 2021 DLFPC



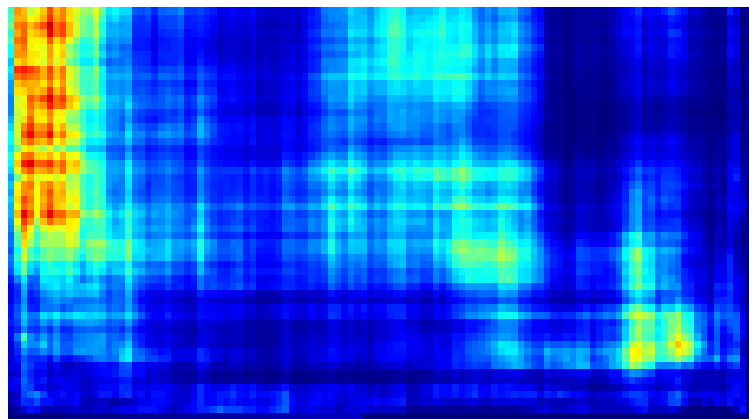
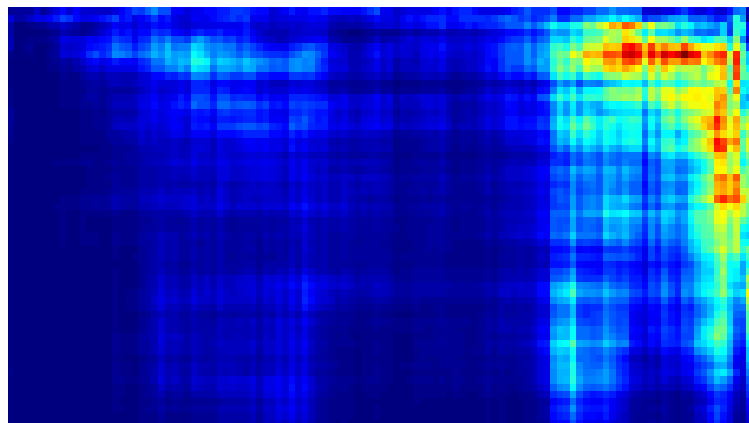
Seney et al., 2021 DLFPC



Oligos



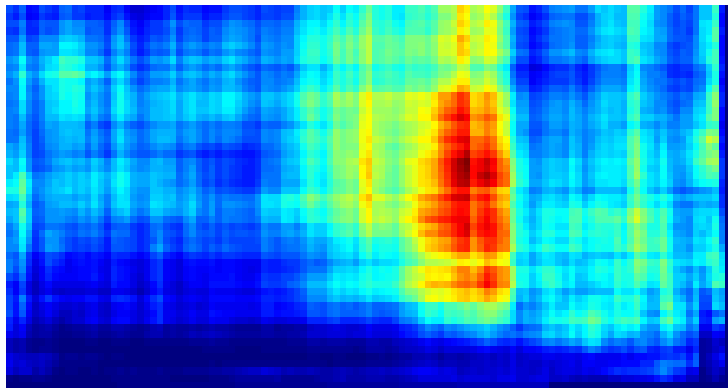
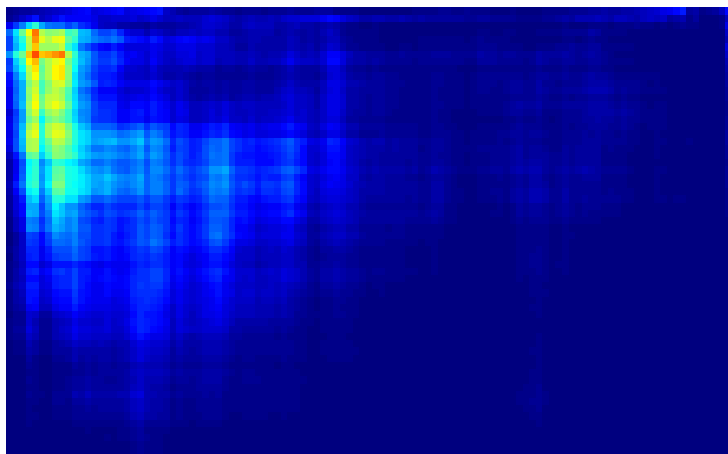
Seney et al., 2021 DLFPC



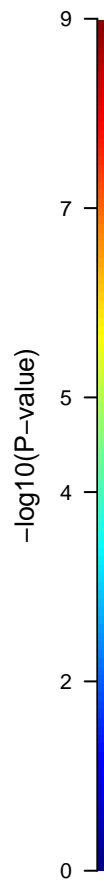
Oligos_Pre

$-\log_{10}(\text{P-value})$

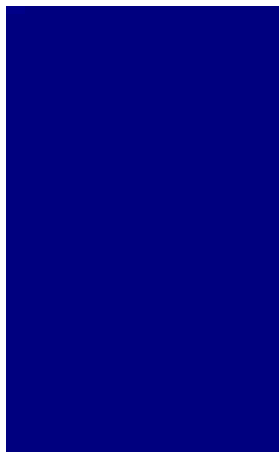
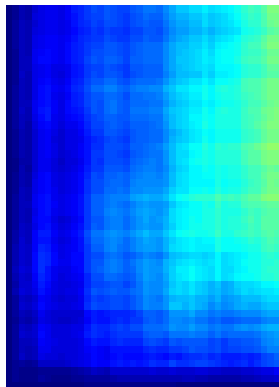
Seney et al., 2021 NAC



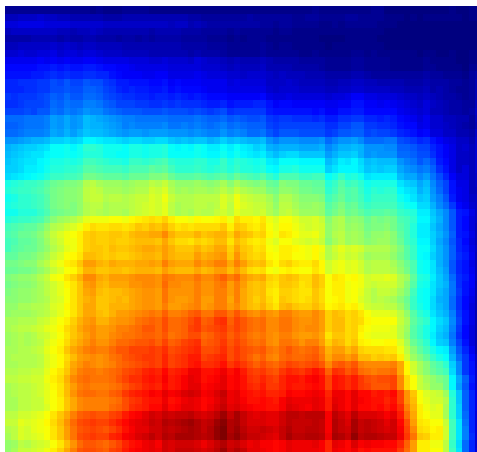
Astrocytes



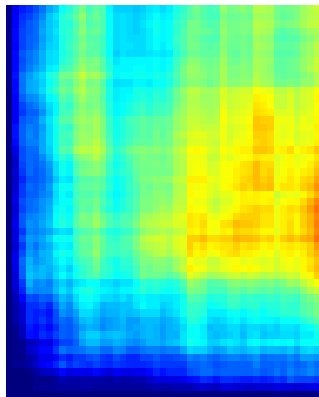
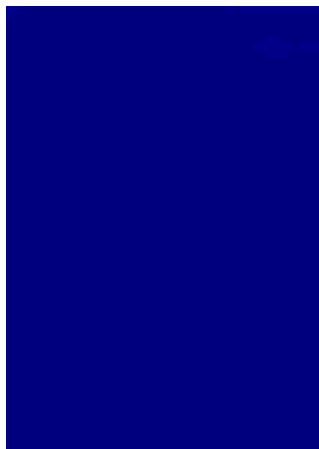
Seney et al., 2021 NAC



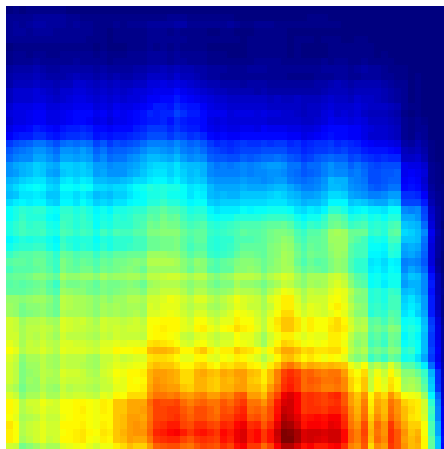
D1-Matrix



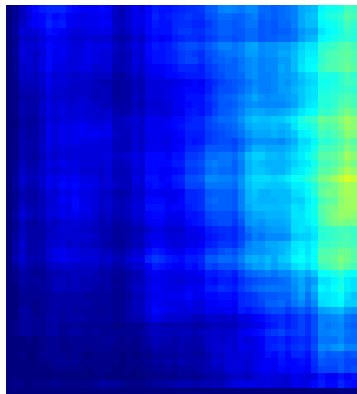
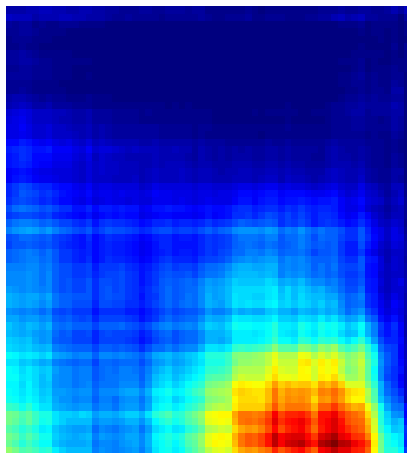
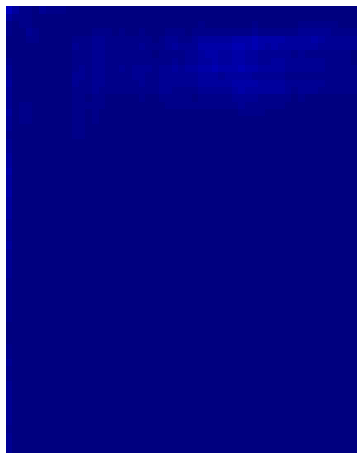
Seney et al., 2021 NAC



D1-Striosome



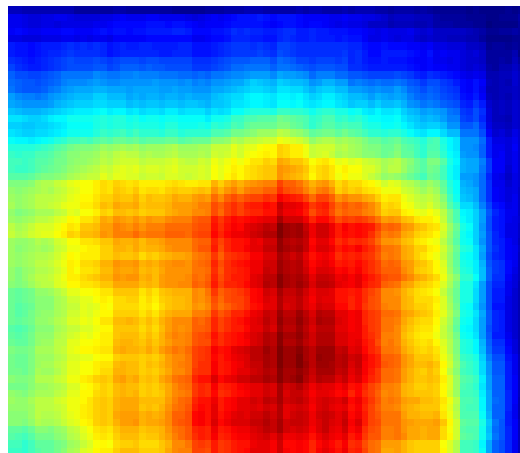
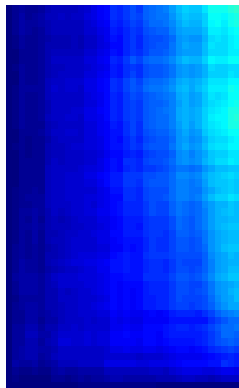
Seney et al., 2021 NAC



D1/D2-Hybrid



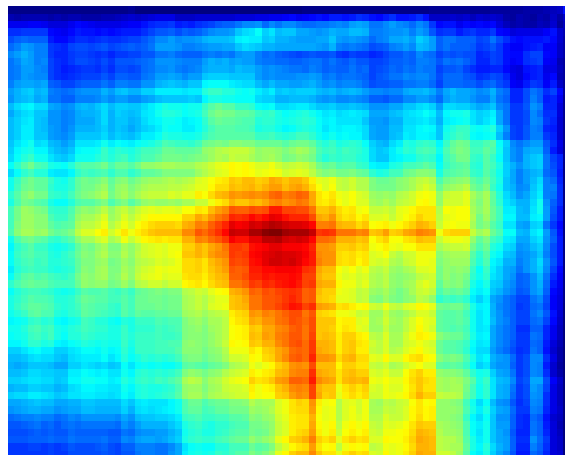
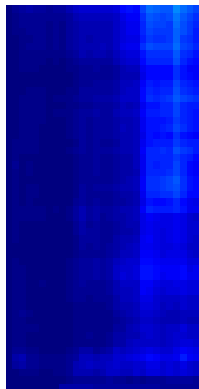
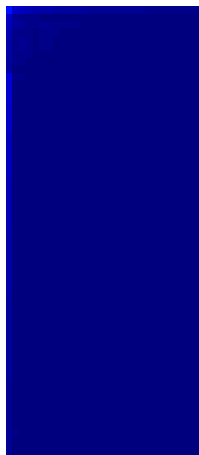
Seney et al., 2021 NAC



D2-Matrix

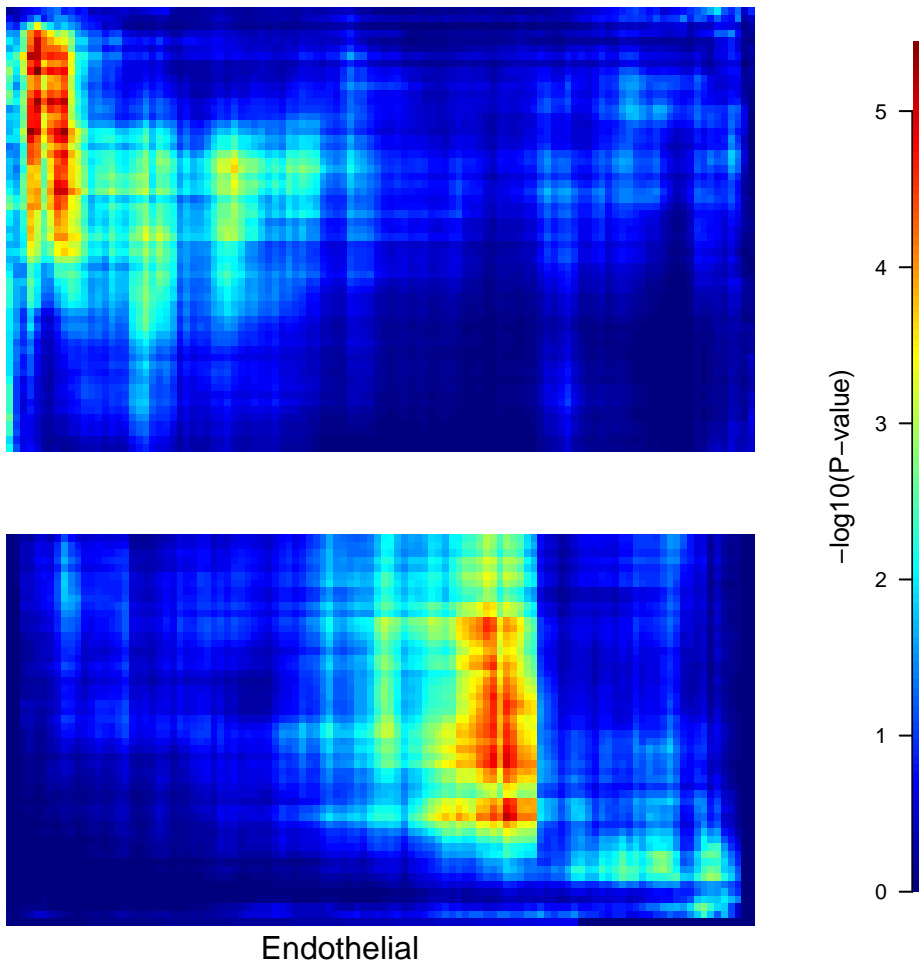


Seney et al., 2021 NAC

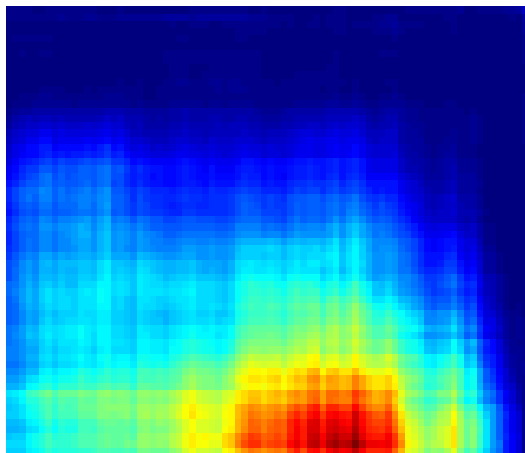
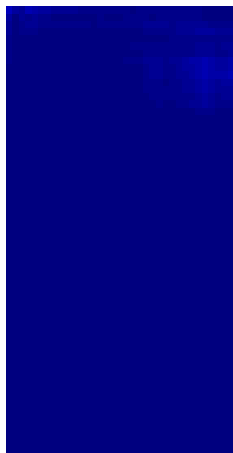
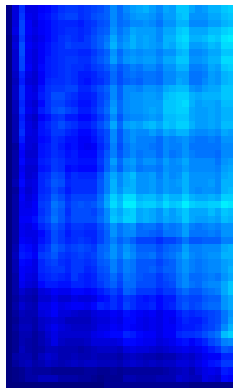


D2-Striosome



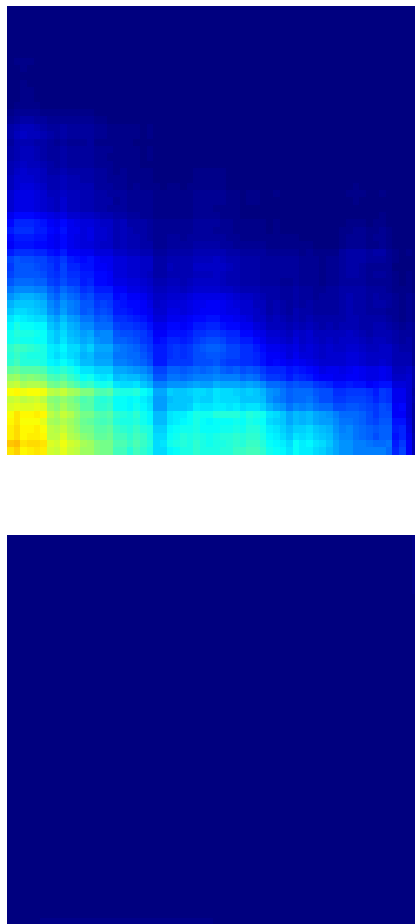
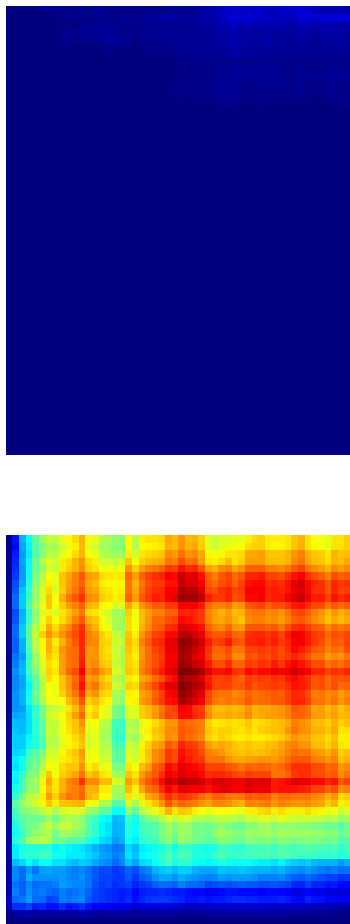


Seney et al., 2021 NAC



Interneurons

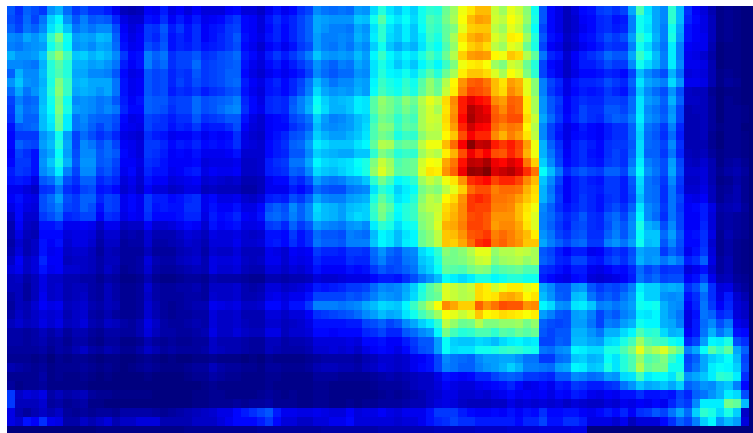
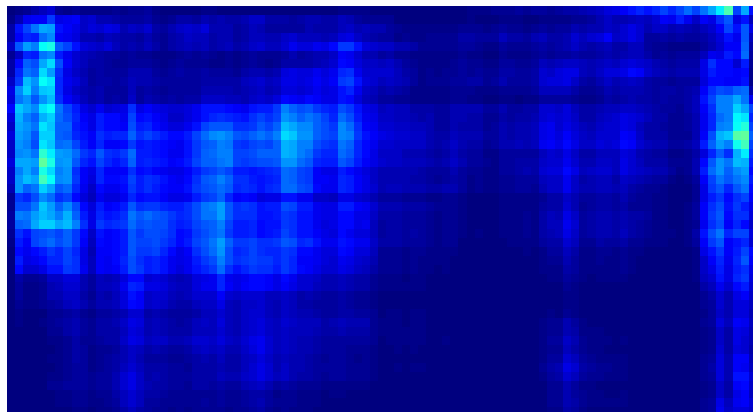
Seney et al., 2021 NAC



Microglia



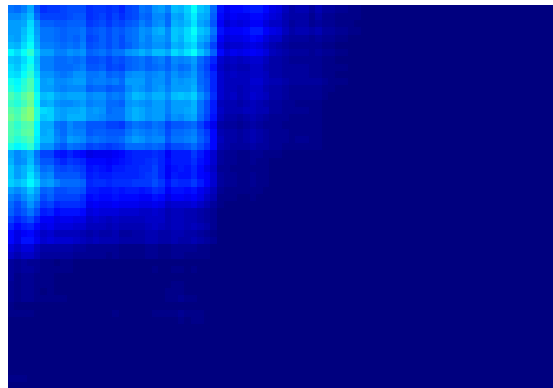
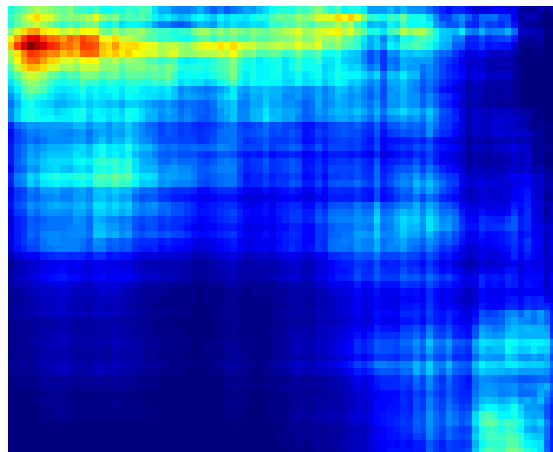
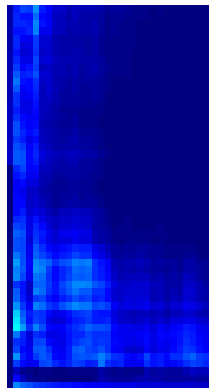
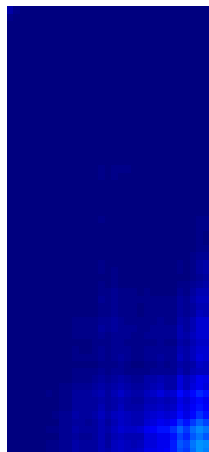
Seney et al., 2021 NAC



Mural/Fibroblast



Seney et al., 2021 NAC



Oligos



